

УДК 533.6.011:532.5

## О ГИДРОДИНАМИЧЕСКОМ ВЗАИМОДЕЙСТВИИ РЕШЕТОК ПРОФИЛЕЙ В ПОТЕНЦИАЛЬНОМ ПОТОКЕ

В. Э. САРЕН

(Новосибирск)

Рассматривается задача о безотрывном обтекании потенциальным потоком несжимаемой жидкости двух взаимно движущихся решеток профилей произвольной формы в предположении отсутствия вихревых следов за профилями (квазистационарная постановка). Предлагается метод приближенного решения задачи для решеток с произвольными шагами, основанный на представлении скорости жидкости на профилях решетки в виде ряда по степенным малого параметра, характеризующего расстояние между решетками. Получены предельные формулы для определения циркуляции скорости жидкости на профилях двухрядной решетки в случае, когда первая решетка является густой решеткой криволинейных дужек, а вторая — редкой решеткой пластин.

В случае решеток с равными шагами задача решалась ранее методом конформных отображений [1-3], а также методом интегральных уравнений [4], который приводит к системе двух интегральных уравнений на контурах исходных профилей решетки. Соответствующая система интегральных уравнений получена также и в общем случае решеток с произвольными шагами [4], однако при решении такой системы возникают значительные трудности, связанные с тем, что областью интегрирования является граница многосвязной области. В практическом отношении, возможно, более приемлем метод последовательных приближений [5], который состоит в последовательном решении задачи обтекания изолированной решетки с заданной неравномерностью внешнего потока, обусловленной наличием второй решетки.

В данной работе определение коэффициентов разложений искомой скорости жидкости на профилях каждой из решеток сводится к решению конечного числа линейных интегральных уравнений на контуре одного из профилей решетки.

1. В плоскости комплексного переменного  $z = x + iy$  (фиг. 1) рассмотрим потенциальный поток идеальной несжимаемой жидкости через двухрядную решетку профилей. Пусть скорость жидкости на бесконечном удалении перед решеткой фиксирована и вторая решетка движется в положительном направлении оси  $y$  с постоянной скоростью  $u$ . Будем предполагать, что в каждый момент времени на профилях решеток реализуется безотрывное обтекание, и ограничимся квазистационарной постановкой задачи, пренебрегая влиянием нестационарных вихревых следов, сбегающих в соответствии с теоремой Томсона с профилей.

При сделанных ограничениях рассматриваемая гидродинамическая задача сводится к определению комплексной скорости жидкости  $\mathbf{V} = V_x - iV_y$ , являющейся аналитической функцией в каждый момент времени  $t$  всюду во внешности двухрядной решетки профилей. На профилях решеток выполняется условие безотрывного обтекания

$$\operatorname{Im}[\mathbf{V}(z, t) e^{i\alpha_k(s)}] = \begin{cases} 0 & (z \in L_{1k}) \\ -u \cos \alpha_2 & (z \in L_{2k}) \end{cases} \quad (k = 0, \pm 1, \pm 2, \dots) \quad (1.1)$$

Здесь  $k$  — номер профиля в решетке;  $L_{1k}$ ,  $L_{2k}$  — соответственно контур  $k$ -го профиля первой и второй решеток;  $\alpha_1$ ,  $\alpha_2$  — соответственно углы, образуемые касательной к профилям  $L_{1k}$  и  $L_{2k}$  в точках  $z$  и положительным направлением оси  $x$ ;  $s$  — длина дуги контура профиля, отсчитываемая от выходной кромки в положительном направлении обхода (против хода часовой стрелки).

На бесконечном удалении перед решетками имеем

$$\lim_{x \rightarrow -\infty} V = V_1 = V_{1x} - iV_{1y} \quad (1.2)$$

Условие равенства нулю относительной скорости жидкости в фиксированных выходных кромках профилей или условие Жуковского — Чаплыгина о конечности скорости в острых выходных кромках замыкает сформулированную задачу.

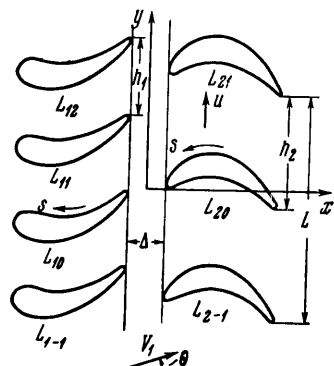
Нетрудно видеть, что нестационарный поток через две взаимно-движущиеся решетки, вызванный изменением их взаимного расположения, обладает периодом  $iL = iN_1 h_1 = iN_2 h_2$ , где  $h_1$  и  $h_2$  — соответственно шаги решеток, а  $N_1$  и  $N_2$  — натуральные числа. В реальных решетках в качестве

$N_1$  и  $N_2$  в общем случае можно взять соответственно числа лопаток решетки направляющего аппарата и решетки рабочего колеса.

Пусть  $V_{1k}(Z_k, t)$  и  $V_{2k}(Z_k, t)$  — соответственно комплексная скорость жидкости на  $k$ -м профиле первой и второй решеток. Из условия периодичности в каждый момент времени имеем

$$\begin{aligned} V_{\mu k}(Z_k, t) &= V_{\mu k}(Z_{k+N_\mu}, t) = \\ &= V_{\mu k}(Z_k, t + L/u) \quad (\mu = 1, 2) \end{aligned} \quad (1.3)$$

$$Z_k = \begin{cases} z_1 + ikh_1 - \frac{1}{2}\Delta & (z_1 \in L_1, \mu = 1) \\ z_2 + ikh_2 + iut + \frac{1}{2}\Delta & (z_2 \in L_2, \mu = 2) \end{cases} \quad (1.4)$$



Фиг. 1

Здесь через  $L_1$  и  $L_2$  (фиг. 2) соответственно обозначены сдвинутые вдоль оси  $x$  на  $\frac{1}{2}\Delta$  и  $-\frac{1}{2}\Delta$  исходные профили первой и второй решеток в некоторый, выбранный в качестве начального, момент времени  $t = 0$ .

Комплексная скорость жидкости в точке  $z$  области течения в момент времени  $t$  в соответствии с равенствами (1.2) — (1.4) может быть представлена формулой [6]

$$\begin{aligned} V(z, t) &= \frac{1}{2Li} \int \sum_{L_1}^{N_1-1} V_{1m}(\xi_1, t) \left[ \operatorname{cth} \pi \left( \frac{z - \xi_1 + \frac{1}{2}\Delta}{L} - i \frac{m}{N_1} \right) + 1 \right] d\xi_1 + \\ &+ \frac{1}{2Li} \int \sum_{L_2}^{N_2-1} V_{2m}(\xi_2, t) \left[ \operatorname{cth} \pi \left( \frac{z - \xi_2 - iut - \frac{1}{2}\Delta}{L} - i \frac{m}{N_2} \right) + 1 \right] d\xi_2 + V_1. \end{aligned}$$

$$\xi_\mu = \xi_\mu + i\eta_\mu, \quad \xi_\mu \in L_\mu \quad (\mu = 1, 2)$$

Устремим точку  $z$  из области течения к  $k$ -му профилю сначала первой, а затем второй решетки. Значения скоростей  $V_{1k}$  и  $V_{2k}$  определяются при этом по формулам Сохоцкого как краевые значения аналитической в области функции. Используя равенства (1.1), (1.4) и разложения

$$\operatorname{cth} z + 1 = 2 \sum_{n=0}^{\infty} e^{-2nz}, \quad \operatorname{Re} z > 0$$

$$\operatorname{cth} z + 1 = -2 \sum_{n=1}^{\infty} e^{2nz}, \quad \operatorname{Re} z < 0$$

получим систему двух интегральных уравнений для определения относительной скорости жидкости  $V_{1k}(s, t)$  и  $V_{2k}(s, t)$  на профилях решеток

$$\frac{1}{2} V_{\mu k}(\sigma, t) - \frac{e^{i\alpha_\mu(\sigma)}}{2Li} \times \\ \times \int_{L_\mu}^{\tilde{N}_\mu-1} \sum_{m=0}^{N_\mu-1} V_{\mu m}(s, t) \left[ \operatorname{cth} \pi \left( \frac{z_\mu - \zeta_\mu}{L} + i \frac{k-m}{N_\mu} \right) + 1 \right] ds = \Pi_\mu(\sigma) \quad (1.5)$$

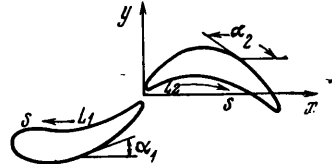
где

$$\Pi_1(\sigma) = e^{i\alpha_1(\sigma)} \left\{ -\frac{1}{Li} \sum_{n=1}^{\infty} \int_{L_2}^{N_2-1} \sum_{m=0}^{N_2-1} V_{2m}(s, t) \exp \left[ 2\pi n \left( Z_{12} - \frac{\Delta}{L} - i \frac{m}{N_2} \right) - \right. \right. \\ \left. \left. - in \left( \omega t - 2\pi \frac{k}{N_1} \right) \right] ds + V_1 \right\} \\ \Pi_2(\sigma) = e^{i\alpha_2(\sigma)} \left\{ \frac{1}{Li} \sum_{n=0}^{\infty} \int_{L_1}^{N_1-1} \sum_{m=0}^{N_1-1} V_{1m}(s, t) \exp \left[ 2\pi n \left( Z_{21} - \frac{\Delta}{L} + i \frac{m}{N_2} \right) - \right. \right. \\ \left. \left. - in \left( \omega t + 2\pi \frac{k}{N_1} \right) \right] ds + V_1 + iu \right\} \\ Z_{12} = \frac{z_1(\sigma) - \zeta_2(s)}{L}, \quad Z_{21} = -\frac{z_2(\sigma) - \zeta_1(s)}{L}, \quad \omega = \frac{2\pi u}{L} \quad (1.6)$$

Исходя из вида правых частей уравнений (1.5), представим искомое решение в виде

$$V_{\mu k}(s, t) = \sum_{n=0}^{\infty} \sum_{r=0}^n [u_{\mu n r}(s) \cos r(\omega t + k\varphi_\mu) + \\ + v_{\mu n r}(s) \sin r(\omega t + k\varphi_\mu)] e^{-2\pi n \Delta / L} \quad (1.7)$$

$$\varphi_\mu = (-1)^\mu \frac{2\pi}{N_\mu} \quad (\mu=1, 2)$$



Фиг. 2

Для исходных ( $k = 0$ ) профилей решеток интегральные уравнения (1.6) запишутся тогда в форме

$$\sum_{n=0}^{\infty} \sum_{r=0}^n K_{\mu r}(U_{\mu n r}, \varphi_\mu) e^{j r \omega t} e^{-2\pi n \Delta / L} = \sum_{n=0}^{\infty} \sum_{r=0}^n \Pi_{\mu n r}(\sigma) e^{j r \omega t} e^{-2\pi n \Delta / L} \\ U_{\mu n r} = u_{\mu n r} + j v_{\mu n r} \quad (\mu=1, 2) \quad (1.8)$$

Введенная здесь для сокращения записи мнимая единица  $j$  не взаимодействует с  $i$ .

Интегральный оператор  $K_{\mu r}(U_{\mu n r}, \varphi_\mu)$  имеет вид

$$K_{\mu r} = \frac{1}{2} U_{\mu n r}(\sigma) - \frac{e^{i\alpha_\mu(\sigma)}}{2Li} \int_{L_\mu}^{\tilde{N}_\mu-1} U_{\mu n r}(s) \times \\ \times \sum_{m=0}^{\tilde{N}_\mu-1} e^{-jm r \varphi_\mu} \left[ \operatorname{cth} \pi \left( \frac{z_\mu - \zeta_\mu}{2Li} - i \frac{m}{N} \right) + 1 \right] ds \quad (1.9)$$

Отметим, что действительная (по  $i$ ) часть  $K_{\mu r}$  есть оператор Фредгольма второго рода, а мнимая часть — сингулярный оператор первого рода с ядром Коши.

Для определения правых частей уравнений (1.8) после подстановки равенств (1.7) в выражения (1.6) получаем формулы

$$\Pi_{100} = V_1 e^{i\alpha_1(\sigma)}, \quad \Pi_{200} = \frac{e^{i\alpha_2(\sigma)}}{h_1 i} \int_{L_1} u_{100}(s) ds + (V_1 + iu) e^{i\alpha_2(\sigma)} \quad (1.10)$$

$$\begin{aligned} \Pi_{1nr} = -\kappa_{2r} \frac{e^{i\alpha_1(\sigma)}}{2h_2 i} \int_{L_2} & \left\{ \sum_{\substack{k=\kappa_1 \\ r \leq n-2}}^{n-1} (1-ij) a(2, k, k-n+r) \exp[2\pi(n-k)Z_{12}] + \right. \\ & \left. + \sum_{\substack{k=\kappa_2 \\ r \leq n-2}}^{n-1} (1+ij) a(2, k, k-n-r) \exp[2\pi(n-k)Z_{12}] \right\} ds \end{aligned} \quad (1.11)$$

$$\begin{aligned} \Pi_{2nr} = \kappa_{4r} \frac{e^{i\alpha_2(\sigma)}}{2h_1 i} \int_{L_1} & \left\{ \sum_{k=\kappa_1}^n (1-ij) a(1, k, k-n+r) \exp[2\pi(n-k)Z_{21}] + \right. \\ & \left. + \sum_{k=\kappa_2}^n (1+ij) a(1, k, k-n-r) \exp[2\pi(n-k)Z_{21}] \right\} ds \\ \kappa_1 = & \left[ \frac{n-r+1}{2} \right], \quad \kappa_2 = \left[ \frac{n+r+1}{2} \right] \quad (\text{целые части}) \end{aligned}$$

$$\kappa_{\mu r} = \frac{1}{N_\mu} \sum_{m=0}^{N_\mu-1} e^{\pm i 2\pi r m / N_\mu} = \begin{cases} 1, & r = r_1 N_\mu, r_1 = 0, 1, 2, \dots \\ 0, & r \neq r_1 N_\mu \end{cases} \quad (1.12)$$

$$a(\mu, k, l) = \begin{cases} u_{\mu kl} + iv_{\mu kl}, & l > 0 \\ 2u_{\mu k0}, & l = 0 \\ u_{\mu kr} - iv_{\mu kr}, & r = -l, \quad l < 0 \end{cases} \quad (1.13)$$

( $\mu = 1, 2$ )

Соотношения (1.8) — (1.13) дают алгоритм для приближенного определения относительной скорости жидкости на профилях двухрядной решетки с любой наперед заданной степенью точности. Действительно, приравнивая коэффициенты левых и правых частей уравнений (1.8) последовательно при  $n = 0, 1, 2, \dots$ , и  $r = 0, 1, 2, \dots, n$ , получим цепочку интегральных уравнений относительно функций  $U_{\mu nr}$  ( $\mu = 1, 2$ ). При этом правые части уравнений относительно  $U_{1nr}$  ( $r = 0, 1, 2, \dots, n$ ) согласно равенствам (1.10) — (1.13) полностью определяются функциями  $U_{2nr}$  ( $n_1 = 0, 1, 2, \dots, n-1$ ;  $r = 0, 1, 2, \dots, n_1$ ). Отсюда после определения  $U_{1nr}$  получаем по второй формуле (1.11) правые части для уравнений относительно функций  $U_{2nr}$  ( $r = 0, 1, 2, \dots, n$ ). Ограничиваюсь  $n = n_0$ , после решения интегральных уравнений приближенное решение задачи с точностью до слагаемых порядка величины  $\exp(-2\pi n_0 \Delta / L)$  дается формулами (1.7), где полагается  $n \leq n_0$ .

Отметим, что, как следует из равенств (1.12), в формулах (1.7) сохраняются лишь слагаемые с индексами  $r$ , кратными числами  $N_2$  ( $\mu = 1$ ) и

$N_1 (\mu = 2)$ . Это обстоятельство находится в соответствии с известным для осевых турбомашин фактом, что нестационарные периодические усилия, вызванные наличием соседней решетки, движущейся относительно данной, действуют на решетку с частотами, кратными числу лопаток соседней решетки. Таким образом, относительная скорость жидкости на профилях двух взаимно движущихся решеток может быть представлена в виде

$$V_{1k}(s, t) = \sum_{n=0}^{\infty} \sum_{r=0}^{n_2} [u_{1nr}(s) \cos r(\omega_1 t + k\psi_1) + \\ + v_{1nr}(s) \sin r(\omega_1 t + k\psi_1)] e^{-2\pi n \Delta/L} \quad (1.14)$$

$$V_{2k}(s, t) = \sum_{n=0}^{\infty} \sum_{r=0}^{n_1} [u_{2nr}(s) \cos r(\omega_2 t + k\psi_2) + \\ + v_{2nr}(s) \sin r(\omega_2 t + k\psi_2)] e^{-2\pi n \Delta/L}$$

$$n_1 = \left[ \frac{n}{N_1} \right], \quad n_2 = \left[ \frac{n}{N_2} \right] \quad (\text{целые части})$$

$$\omega_1 = 2\pi u / h_2, \quad \omega_2 = 2\pi u / h_1, \quad \psi_1 = -2\pi N_2 / N_1, \quad \psi_2 = 2\pi N_1 / N_2.$$

Функции  $u_{\mu nr}$  и  $v_{\mu nr}$  ( $\mu = 1, 2$ ) определяются в результате последовательного решения интегральных уравнений

$$K_{1r}(U_{1nr}, \psi_1) = \Pi_{1nr_1} \Big|_{r_1=rN_2}, \quad r = 0, 1, 2, \dots, n_2 \quad (1.15)$$

$$K_{2r}(U_{2nr}, \psi_2) = \Pi_{2nr_1} \Big|_{r_1=rN_1}, \quad r = 0, 1, 2, \dots, n_1$$

$$(\text{и } n=0, 1, 2, \dots)$$

2. Рассмотрим частный случай двухрядной решетки, составленной из тонких профилей-дужек. Заменим каждый профиль решетки слоем непрерывно распределенных вихрей с погонной интенсивностью

$\gamma_{\mu k}(s, t) = V_{\mu k}^+(s, t) - V_{\mu k}^-(s, t); \quad \mu = 1, 2; \quad k = 0, \pm 1, \pm 2, \dots$   
где через  $V_{\mu k}^{\pm}$  обозначены соответственно предельные значения относительной скорости жидкости при подходе снизу и сверху к  $k$ -му профилю  $\mu$ -й решетки. Возмущенная скорость жидкости на профиле решетки определяется тогда как полусумма предельных индуктивных скоростей, полученных при подходе к профилю снизу и сверху.

Искомую величину погонной интенсивности вихревого слоя в соответствии с равенствами (1.14) и (1.15) можно представить в виде

$$\gamma_{1k}(s, t) = \sum_{n=0}^{\infty} \sum_{r=0}^{n_2} [\eta_{1nr}(s) \cos r(\omega_1 t + k\psi_1) + \\ + \varepsilon_{1nr}(s) \sin r(\omega_1 t + k\psi_1)] e^{-2\pi n \Delta/L} \quad (2.1)$$

$$\gamma_{2k}(s, t) = \sum_{n=0}^{\infty} \sum_{r=0}^{n_1} [\eta_{2nr}(s) \cos r(\omega_2 t + k\psi_2) + \\ + \varepsilon_{2nr}(s) \sin r(\omega_2 t + k\psi_2)] e^{-2\pi n \Delta/L}$$

Функции  $\gamma_{\mu n r} = \eta_{\mu n r} + \varepsilon_{\mu n r}$  ( $\mu = 1, 2$ ) удовлетворяют сингулярным интегральным уравнениям с ядром Коши

$$\begin{aligned} \operatorname{Im}_i K_{1r}(\gamma_{1nr}, \psi_1) &= \operatorname{Im}_i \Pi_{1nr} \Big|_{r_1=rN_2}, \quad r = 0, 1, 2, \dots, n_2 \\ \operatorname{Im}_i K_{2r}(\gamma_{2nr}, \psi_2) &= \operatorname{Im}_i \Pi_{2nr} \Big|_{r_1=rN_1}, \quad r = 0, 1, 2, \dots, n_1 \\ &\quad (n=0, 1, 2, \dots) \end{aligned} \quad (2.2)$$

Интегрирование в операторах  $K_{\mu r}$  ( $\mu = 1, 2$ ) производится здесь по дужке профиля соответствующей решетки и длина дуги  $s$  отсчитывается от передней кромки. При этом согласно общей теории уравнений типа (2.2) и условию Жуковского — Чаплыгина искомое решение принадлежит к классу интегрируемых функций, непрерывных во всех внутренних точках дужки профиля и конечных в выходных кромках профилей ( $s = l_\mu$ ,  $\mu = 1, 2$ ).

Обозначим через  $b_\mu$  и  $\tau_\mu = b_\mu / h_\mu$  ( $\mu = 1, 2$ ) соответственно, длину хорды профиля и густоту  $\mu$ -й решетки. Пусть далее первая решетка будет густой ( $\tau_1 \gg 1$ ) решеткой криволинейных дужек, а вторая — редкой ( $\tau_2 \ll 1$ ) решеткой пластин (фиг. 3). При этом, очевидно, имеем  $N_2 \ll N_1$ . В качестве примера применения алгоритма, изложенного в п. 1, построим предельное решение исследуемой задачи, когда областью изменения параметров  $\tau_1$  и  $\tau_2$  является полуполоса  $\tau_1 \gg 1$ ,  $\tau_2 \ll 1$ .

Сопоставляя равенства (2.1), (2.2) с соотношениями (1.10) — (1.13), для погонной интенсивности вихрей на профилях решетки в рассматриваемом случае получим выражения

$$\begin{aligned} \gamma_{1k}(s, t) &= \sum_{r=0}^{\infty} [\eta_{1nr} \Big|_{n=rN_2} \cos r(\omega_1 t + k\psi_1) + \\ &\quad + \varepsilon_{1nr} \Big|_{n=rN_2} \sin r(\omega_1 t + k\psi_1)] \times \\ &\quad \times \exp(-2\pi r \tau_2 \Delta_2) + O(\tau_2^2, \tau_1 e^{-2\pi \tau_1 \Delta_1}) \quad (2.3) \end{aligned}$$

$$\begin{aligned} \gamma_{2k}(s, t) &= \sum_{n=0}^{\infty} \eta_{2n0}(s) \exp(-4\pi n \tau_2 \Delta_2) + \\ &\quad + O(\tau_2^2, \tau_1 e^{-2\pi \tau_1 \Delta_1}) \quad (2.3) \end{aligned}$$

$$\Delta_1 = \Delta / b_1, \quad \Delta_2 = \Delta / b_2$$

Фиг. 3

Интегральные операторы в левой части уравнений (2.2) в рассматриваемой области изменения параметров  $\tau_1$  и  $\tau_2$  могут быть представлены в виде

$$\begin{aligned} \operatorname{Im}_i K_{10}(\gamma_{100}, \psi_1) &= -\operatorname{Im}_i \left\{ \frac{e^{i\alpha_1(0)}}{2b_1 i} \tau_1 \int_0^{t_1} \gamma_{100}(s) [\operatorname{sgn}(x_1 - \xi_1) + 1] ds \right\} + \\ &\quad + O(\tau_1 \exp(-2\pi \tau_1^{1-\delta})) \quad (2.4) \end{aligned}$$

$$\begin{aligned} \operatorname{Im}_i K_{20}(\gamma_{2n0}, \psi_2) &= -\operatorname{Im}_i \left\{ \frac{e^{i\alpha_2(0)}}{2\pi b_2 i} \int_0^{t_2} \gamma_{2n0}(s) \left[ \frac{b_2}{z_2 - \xi_2} + \pi \tau_2 \right] ds \right\} + O(\tau_2^2), \\ n &= 0, 1, 2, \dots \quad (2.5) \end{aligned}$$

$$\operatorname{Im}_i K_{1r}(\gamma_{1nr}|_{n=rN_2}, \psi_1) = -\operatorname{Im}_i \left\{ \frac{e^{i\alpha_i(\sigma)}}{2b_1 i} \tau_1 \int_0^{\tau_1} \gamma_{1nr}(s) J_n(z_1, \xi_1) ds \right\} + O\left(\frac{r^2 N_2^2}{N_1^2}\right) \quad (2.6)$$

где

$$0 < \delta < 1, \quad J_n = \int_0^1 e^{j2\pi n \varphi} \operatorname{cth} \left[ \pi \left( \frac{z_1 - \xi_1}{L} - in\varphi \right) \right] d\varphi$$

Отметим, что в операторах (1.9) особые интегралы понимаются в смысле главного значения по Коши, поэтому для обоснования представлений (2.4) и (2.5) достаточно использовать соответствующие разложения ядер операторов  $K_{\mu 0}$  ( $\mu = 1, 2$ ) вне некоторой окрестности точки  $z_1$  ( $|x_1 - \xi_1| \geqslant \varepsilon > 0$ ). Соотношение (2.6) получается, если рассмотреть сумму

$$\sum_{m=0}^{N_1-1} e^{j2\pi nm/N_1} \operatorname{cth} \left[ \pi \left( \frac{z_1 - \xi_1}{L} - i \frac{m}{N_1} \right) \right] \frac{1}{N_1}, \quad n = rN_2$$

как приближенное значение интеграла  $J_n$ . Последний является дифференцируемой функцией параметров  $X = x_1 - \xi_1$  ( $|X| \geqslant \varepsilon > 0$ ) и  $Y = y_1 - \eta_1$ . Отсюда в результате несложных вычислений получим

$$J_n(z_1, \xi_1) = [\operatorname{sgn}(x_1 - \xi_1) + ij] \exp \left[ -2\pi n \frac{z_1 - \xi_1}{L} \operatorname{sgn}(x_1 - \xi_1) \right] \quad (2.7)$$

Пренебрегая в дальнейшем членами порядка величины  $\tau_2^2$ ,  $\tau_1 e^{-2\pi\tau_1 \Delta_1}$  и  $N_2/\tilde{N}_1$ , из соотношений (1.10), (2.4) и (2.5) получаем уравнения относительно функций  $\gamma_{100}$  и  $\gamma_{200}$ , дающие «нулевое» ( $n = 0$ ) приближение иско-мого предельного решения

$$k_{10}(\sigma) = \int_0^\sigma \gamma_{100}(s) ds = -\frac{\sin(\theta - \alpha_1(\sigma))}{\tau_1 \cos \alpha_1(\sigma)} \quad (2.8)$$

$$\frac{1}{2\pi} \int_0^\sigma \gamma_{200}(s) \left[ \frac{1}{\sigma - s} + \pi \tau_2 \cos \alpha_2 \right] ds = \Pi_{200}(\sigma) \quad (2.9)$$

где

$$\Pi_{200} = (u - \tau_2 \Gamma_{100}) \cos \alpha_2 - \sin(\theta - \alpha_2), \quad \Gamma_{100} = \int_0^{\tau_1} \gamma_{100}(s) ds, \quad V_1 = V_1 e^{-i\theta}$$

Здесь и далее все величины размерности скорости нормированы к скоро-стии набегающего потока  $V_1$ , а линейные размеры — к длине хорды про-филя соответствующей решетки.

Представим решение уравнения (2.8) обобщенной функцией вида

$$\gamma_{100}(s) = \Gamma_0 \delta(s) + \frac{d\Gamma(s)}{ds} \quad \left( \frac{1}{2} \Gamma_0 = \lim_{\sigma \rightarrow 0} k_{10}(\sigma) \right) \quad (2.10)$$

где  $\delta(s)$  — дельта-функция Дирака, а  $\Gamma(s)$  — непрерывная дифференци-руемая функция. Подставляя равенство (2.10) в уравнение (2.8), после

дифференцирования последнего будем иметь

$$\gamma_{100}(s) = -2 \frac{\sin(\theta - \alpha_1(0))}{\tau_1 \cos \alpha_1(0)} \delta(s) + \alpha_1'(s) \frac{\cos \theta}{\tau_1 \cos^2 \alpha_1(s)} \quad (2.11)$$

Механический смысл соотношения (2.10) состоит в том, что безотрывное обтекание весьма густой решетки тонких профилей может быть построено при помощи цепочки дискретных вихрей, расположенных в передних кромках профилей и некоторого вихревого слоя, непрерывно распределенного с плотностью  $\Gamma'(s)$  по дужкам профилей решетки. Этот непрерывный вихревой слой обусловлен поворотом потока в густой решетке вследствие кривизны профилей. В частном случае густой решетки пластин имеем  $\alpha_1'(t) = 0, \Gamma'(s) = 0$ .

Интегрируя равенство (2.11) по дужке профиля первой решетки, получаем известное (см. [7]) предельное выражение для циркуляции скорости жидкости в густой решетке тонких профилей

$$\Gamma_{100} = -\frac{\sin(\theta - \alpha_1(l_1))}{\tau_1 \cos \alpha_1(l_1)} \quad (2.12)$$

Решение уравнения (2.9) дается формулой обращения особого интеграла с ядром Коши (см., например, [8]) для разомкнутого контура. Учитывая равенство (2.12), по формуле обращения получаем

$$\gamma_{200}(s) = C \left( \frac{1-s}{s} \right)^{1/2}, \quad \Gamma_{200} = \int_0^1 \gamma(s) ds = \frac{\pi}{2} C \quad (2.13)$$

$$C = 4 \frac{\cos \theta \sin(\alpha_1(l_1) - \alpha_2) - u \cos \alpha_2 \cos \alpha_1(l_1)}{(2 - \pi \tau_2 \cos \alpha_2) \cos \alpha_1(l_1)}$$

Интегральное уравнение относительно функций  $\gamma_{1nr}(s)$  ( $n = rN_2, r = 1, 2, 3, \dots$ ) после подстановки (2.7) в (2.6) и определения правой части  $\Pi_{1nr}$  ( $n = rN_2, r = 1, 2, 3, \dots$ ) из равенств (1.11) примет вид

$$\begin{aligned} k_r(\sigma) &= \frac{\tau_1}{2} \int_0^{l_1} \gamma_{1nr}(s) \operatorname{sgn}(x_1 - \xi_1) \exp \left\{ -k_r \frac{b_1}{b_2} [ |x_1 - \xi_1| - j(y_1 - \eta_1) ] - \right. \\ &\quad \left. - j \operatorname{sgn}(x_1 - \xi_1) \alpha_1(\sigma) \right\} ds = \tau_2 C_r \exp \left[ k_r \frac{b_1}{b_2} (x_1 + jy_1) + j\alpha_1(\sigma) \right] \\ k_r &= 2\pi r \tau_2, \quad r^2 \leq N_1 / N_2 \\ C_r &= C \int_0^1 \left( \frac{1-s}{s} \right)^{1/2} \exp[-k_r(\xi_2 + j\eta_2)] ds = \frac{\pi}{2} C \Phi \left( \frac{1}{2}, 2, -k_r e^{j\alpha_2} \right) \end{aligned}$$

Здесь  $\Phi$  — вырожденная гипергеометрическая функция [9].

Решение уравнения (2.14), непрерывное во всех внутренних точках дужки профиля первой решетки и конечное в выходной кромке, удовлетворяет соотношению

$$\lim_{s \rightarrow l_1} \int_0^{l_1} \gamma_{1nr}(s) ds = 0$$

что указывает на представимость функции  $\gamma_{1nr}(s)$  в форме (2.10). Под-

ставляя (2.10) в уравнение (2.14) и дважды дифференцируя последнее по переменной  $\sigma$ , приходим к дифференциальному уравнению

$$\frac{\partial}{\partial \sigma} \left[ F(\sigma) \frac{\exp(-2ja_1(\sigma)) + 1}{2\Psi(\sigma)} \right] + F(\sigma) = 0$$

где

$$F(\sigma) = \Gamma'(\sigma) \exp \left[ -\frac{k_r b_1(x_1 + jy_1)}{b_2} \right], \quad \Psi(\sigma) = \frac{k_r b_1 \cos a_1(\sigma)}{b_2} + j \frac{da_1(\sigma)}{d\sigma}$$

Отсюда

$$\Gamma'(\sigma) = \frac{d\Gamma}{d\sigma} = \frac{A}{\cos^2 a_1(\sigma)} \Psi(\sigma), \quad A = \text{const}$$

Находим далее константу  $A$  из уравнения

$$\frac{\partial}{\partial \sigma} k_r(\sigma) \Big|_{\sigma=l_1} = \frac{\partial}{\partial \sigma} [\text{Im}_i \Pi_{1nr}] \Big|_{\sigma=l_1}$$

после чего коэффициент  $\Gamma_0$  однозначно определяется из исходного уравнения (2.14). Опуская промежуточные выкладки, запишем окончательный вид решения

$$\begin{aligned} \gamma_{1nr}(s) &= 2 \frac{\tau_2}{\tau_1} C_r \exp \left[ j \left( k_r \frac{b_1}{b_2} y_1(l_1) + a_1(l_1) + a_1(0) \right) \right] \times \\ &\times \left[ 2 \frac{\cos a_1(l_1)}{\cos a_1(0)} \delta(s) + e^{-ja_1(0)} \frac{\cos a_1(l_1)}{\cos^2 a_1(s)} \Psi(s) \right] \end{aligned} \quad (2.15)$$

$$\begin{aligned} \Gamma_{1nr} &= \int_0^{l_1} \gamma_{1nr}(s) ds = 2 \frac{\tau_2}{\tau_1} C_r \exp \left[ j \left( k_r \frac{b_1}{b_2} y_1(l_1) + a_1(l_1) \right) \right] \times \\ &\times \left[ e^{ja_1(l_1)} + k_r \frac{b_1}{b_2} \int_0^{l_1} \frac{ds}{\cos a_1(s)} \right] \end{aligned} \quad (2.16)$$

Функции  $\gamma_{2n0}(s)$  ( $n = 1, 2, 3, \dots$ ) определяются как решения уравнения (2.9), где правая часть, вычисленная по формулам (1.11) и (2.15), равна

$$\begin{aligned} \text{Im}_i \Pi_{2n0}(\sigma) &= \text{Im}_i \left\{ \frac{e^{ia_2}}{i} J_r \exp[-k_r(x_2 + iy_2)] \right\} \\ J_r &= \pi \tau_2 C \Phi \left( \frac{1}{2}, 2, -k_r e^{-ia_2} \right) e^{-i2a_1(l_1)} \end{aligned}$$

Отсюда по формуле обращения получаем

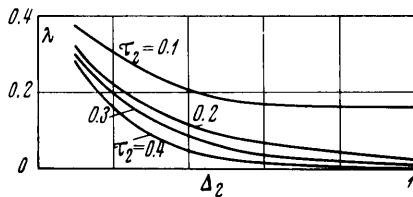
$$\gamma_{2n0}(\sigma) = - \left( \frac{1-\sigma}{\sigma} \right)^{1/2} \left[ \frac{2}{\pi} \int_0^1 \left( \frac{s}{1-s} \right)^{1/2} \frac{\text{Im}_i \Pi_{2n0}(s)}{\sigma-s} ds - \tau_2 \Gamma_{2n0} \cos a_2 \right] \quad (2.17)$$

где

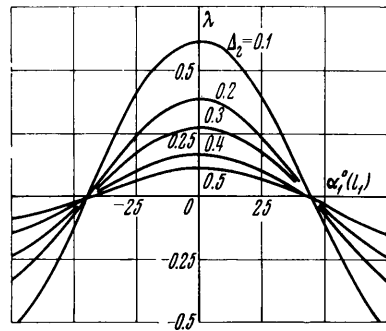
$$\begin{aligned} \Gamma_{2n0} &= \int_0^1 \gamma_{2n0}(s) ds = - \frac{2\pi^2 \tau_2}{2 - \pi \tau_2 \cos a_2} \text{Im} \left\{ \frac{\exp[i(a_2 - 2a_1(l_1))]}{i} \right\} \times \\ &\times \Phi \left( \frac{1}{2}, 2, -k_r e^{-ia_2} \right) \Phi \left( \frac{3}{2}, 2, -k_r e^{ia_2} \right) \end{aligned} \quad (2.18)$$

Равенства (2.3), (2.11) — (2.13) и (2.15) — (2.18) дают предельное решение (решение в полуполосе  $\tau_1 \gg 1, \tau_2 \ll 1$ ) задачи о гидродинамическом взаимодействии густой решетки профилей — дужек и редкой решетки пластин. Нетрудно видеть, что аналогично может быть построено предельное решение в области  $\tau_1 \ll 1, \tau_2 \gg 1$ .

В заключение остановимся на интересном в практическом отношении вопросе о величине средней за период  $T = L/u$  циркуляции скорости жидкости



Фиг. 4



Фиг. 5

сти  $\Gamma_{20}$  на профиле решетки, движущейся относительно соседней решетки, которая расположена на расстоянии  $\Delta$  от данной. В соответствии с равенствами (1.14) и (1.15) величина  $\Gamma_{20}$  может быть представлена в форме

$$\Gamma_{20} = b_2 V_1 \Gamma_{200} [1 + \lambda(\Delta, \tau_1, \tau_2, \alpha_1, \alpha_2)], \quad \lim_{\Delta \rightarrow \infty} \lambda = 0$$

где функция  $\lambda$  характеризует гидродинамическое взаимодействие с соседней решеткой. В рассматриваемом случае  $\tau_1 \gg 1, \tau_2 \ll 1$  согласно равенствам (2.13) и (2.18) функция  $\lambda$  равна

$$\lambda = -\frac{4\pi\tau_2}{2 - \pi\tau_2 \cos \alpha_2} \operatorname{Im} \left[ \frac{\exp i(\alpha_2 - 2\alpha_1(l_1))}{i} \sum_{r=1}^{r_0} \Phi \left( \frac{1}{2}, 2, -k_r e^{-i\alpha_2} \right) \times \right. \\ \left. \times \Phi \left( \frac{3}{2}, 2, -k_r e^{i\alpha_2} \right) \exp(-4\pi r \tau_2 \Delta_2) \right], \quad r_0^2 \leq [N_2/N_1]$$

Зависимости  $\lambda(\Delta_2, \tau_2)$  для  $\alpha_1(l_1) = 30^\circ$  и  $\lambda(\Delta_2, \alpha_1(l_1))$  для  $\tau_2 = 0.3$  при значении  $\alpha_2 = 0$  представлены на фиг. 4 и фиг. 5.

Поступило 29 VI 1970

#### ЛИТЕРАТУРА

- Feindt E. G. Berechnung der Strömung des Tandemgitters mit bewegter zweiter Schraufreihe. Ingr.—Arch., 1961, Nr 2, Bd 30.
- Feindt E. G. Berechnung der Strömung des instationären vielstufigen Platten-gitters. Ingr.—Arch., 1961, Nr 5, Bd 30.
- Feindt E. G. Berechnung der instationären Strömung des vielstufigen destaffelten Plattengitters. Ingr.—Arch., 1962, Nr 4, Bd 31.
- Kazimierski Z. Plaski przepływ przez osiowy stopień maszyny przepływowej o dowolnych parametrach geometrycznych. Arch. Budowy Maszyn, 1966, vol. 13, No. 2.
- Самойлович Г. С. Нестационарное обтекание и аэроупругие колебания решеток турбомашин. М., «Наука», 1969.
- Сарен В. Э. Решетка произвольных выбирающих профилей в потоке несжимаемой жидкости. Изв. АН СССР, МЖГ, 1968, № 3.
- Белоцерковский С. М. Тонкая несущая поверхность в дозвуковом потоке газа. М., «Наука», 1965.
- Гахов Ф. Д. Краевые задачи. Изд. 2. М., Физматгиз, 1963.
- Градштейн И. С., Рыжик И. М. Таблицы интегралов, сумм, рядов и произведений. М., Физматгиз, 1962.